

文章编号: 1000-8608(2017)06-0657-06

# 完全二部图优美性质探索

把丽娜, 刘倩, 刘信生, 姚兵\*

(西北师范大学 数学与统计学院, 甘肃 兰州 730070)

**摘要:** 图论的二部图及其标号在实际应用中较多, 尤其最近图标号被应用于新型的图形密码设计。首先构造出了组合完全二部图与串联完全二部图, 发现了一种叫做奇边魔幻全标号的标号, 并给出了组合完全二部图具有奇边魔幻全标号的证明。此外, 得出了串联完全二部图是优美图、 $(k,d)$ -优美图的结论。

**关键词:** 树; 完全二部图; 优美标号;  $(k,d)$ -优美标号

中图分类号: O157.5

文献标识码: A

doi: 10.7511/dllgxb201706016

## 0 引言

图的标号设计是图论中具有实际应用背景的研究课题。在图论的研究中, 图的第一个标号问题是在 20 世纪 60 年代由 Ringel<sup>[1]</sup> 提出的, 人们根据应用的需要发现了许多关于简单图的标号和猜想。优美图是图的标号理论中十分重要的课题之一。1966 年, Rosa 在其关于图同构分解问题的研究中提出了关于优美树的猜想, 认为“所有的树图都是优美的”<sup>[2]</sup>。猜想的提出引起了图论研究者的广泛关注, 使得包括优美标号、奇优美标号在内的图标号问题研究得到了空前的发展。图的优美标号问题是组合数学研究专题, 它不仅属于图论的领域而且在设计理论的范畴。优美图在物流运输、编码理论、雷达、天文学、电路设计等方面都有应用<sup>[3]</sup>。优美图是图论中的一个重要分支, 研究优美图标号问题有助于研究其他类型的图标号问题, 定义一个图的顶点标号是图的顶点集到整数集的映射, 边标号是图的边集到整数集的映射<sup>[4]</sup>。根据对映射的不同要求, 新的图标号以及新问题不断涌现。经过多年的研究, 目前已经有许多关于优美图的研究成果, 也导致了一大批新的标号产生。例如:  $(k,d)$ -优美标号、边魔幻标号、反魔幻标号、幸福标号及和谐标号等<sup>[5]</sup>。

一个图  $G$  是二部图, 如果它的顶点集  $V(G)$

可以分成两个子集  $X$  和  $Y$ , 且图  $G$  中的每一条边都有一个顶点在  $X$  中, 另一个顶点在  $Y$  中, 图  $G$  可以记作  $G(X,Y)$ 。如果在二部图  $G(X,Y)$  中,  $X$  中的每个顶点都与  $Y$  中每个顶点相连, 则称  $G(X,Y)$  为完全二部图, 若  $X$  中有  $m$  个顶点,  $Y$  中有  $n$  个顶点, 则完全二部图  $G(X,Y)$  记为  $K_{m,n}$ <sup>[6]</sup>。

本文所提到的图都是简单的、无向的并且是有限的, 所定义的记号同文献[4]。为叙述方便, 把一个有  $p$  个顶点和  $q$  条边的图叫做  $(p,q)$ -图  $G$ 。设  $(p,q)$ -图  $G$  有一个映射  $f: V(G) \rightarrow [0, q]$ 。记  $f(V(G)) = \{f(u): u \in V(G)\}$ ,  $f(E(G)) = \{f(uv) = |f(u) - f(v)|: uv \in E(G)\}$ 。

本文中用到的  $[m, n]$  是指集合  $\{m, m+1, m+2, \dots, n\}$ , 即从  $m$  到  $n$  的自然数;  $[s, t]^o$  表示奇数集合  $\{s, s+2, s+4, \dots, t\}$ , 即从  $s$  到  $t$  的全体奇数;  $[k, l]^e$  表示偶数集合  $\{k, k+2, k+4, \dots, l\}$ , 即从  $k$  到  $l$  的全体偶数<sup>[7]</sup>。文中未给出的符号及定义参见文献[4]。

## 1 基本概念

**定义 1**<sup>[5-7]</sup> 如果  $(p, q)$ -图  $G$  有一个映射  $f: V(G) \rightarrow [0, q]$ , 使得图  $G$  中任意两个顶点  $x, y$  满足  $f(x) \neq f(y)$  且定义边  $uv \in E(G)$  的标号为  $f(uv) = |f(u) - f(v)|$ 。当  $\{f(uv): uv \in E(G)\} = [1, q]$  时, 则称  $f$  为图  $G$  的一个优美标号, 图  $G$  为

优美图.

**定义 2<sup>[8]</sup>** 对于给定的  $(p, q)$ -图  $G$ , 如果存在一个映射  $f: V(G) \rightarrow [0, k + (q-1)d]$ , 使得图  $G$  中任意两个顶点  $x, y$  满足  $f(x) \neq f(y)$  且边标号集合  $f(E(G)) = \{k, k+d, k+2d, \dots, k+(q-1)d\}$ , 则称  $f$  为图  $G$  的一个  $(k, d)$ -优美标号, 图  $G$  为  $(k, d)$ -优美图.

**定义 3** 对于给定的  $(p, q)$ -图  $G$ , 如果存在一个映射  $f: V(G) \rightarrow [0, 2q-1]$ , 使得图  $G$  中任意两个顶点  $x, y$  满足  $f(x) \neq f(y)$  且定义边  $uv \in E(G)$  的标号为  $f(uv) = f(u) + f(v)$ . 当  $\{f(uv) : uv \in E(G)\} = [1, 2q-1]^{\circ}$  时, 则称  $f$  为图  $G$  的一个奇边魔幻全标号, 图  $G$  为奇边魔幻图.

图 1 是组合完全二部图的示意图, 它由支架与完全二部图组成, 而支架是由顶点  $a_1, a_2, \dots, a_s$  依次连接, 完全二部图则是由图  $G_i$  ( $i \in [1, s]$ ) 构成,  $G_i$  即为  $K_{m, n}$ . 其中  $V(G_i) = \{a_i, b_{i,1}, c_{i,1} | t \in [1, m], k \in [1, n]\}, E(G_i) = \{a_i b_{i,t}, b_{i,t} c_{i,k}, a_i a_{i+1} | i \in [1, m], k \in [1, n], t \in [1, s]\}$ , 再将每个完全二部图  $G_i$  中的  $a_i$  ( $i \in [1, s]$ ) 相连.

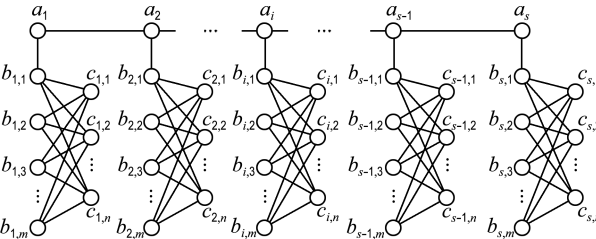


图 1 一个组合完全二部图

Fig. 1 A combinatoric complete bipartite graphs

图 2 是串联完全二部图示意图, 它由  $n$  个完全二部图依次连接而成, 完全二部图则是由图  $G_i$  构成,  $G_i$  即为  $K_{m_i, n_i}$ , 其中  $V(G_i) = \{b_{i,t_i}, c_{i,k_i} | i \in [1, s], t_i \in [1, m_i], k_i \in [1, n_i]\}, E(G_i) = \{b_{i,t_i} c_{i,k_i}, b_{i,1} c_{i-1,n_i} | i \in [1, s], t_i \in [1, m_i], k_i \in [1, n_i]\}$ .

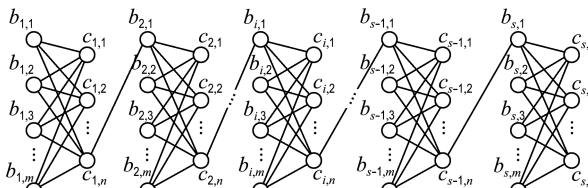


图 2 一个串联完全二部图

Fig. 2 A series complete bipartite graphs

## 2 主要结论

**定理 1** 组合完全二部图具有奇边魔幻标号.

**证明** 设图  $G$  是组合完全二部图, 定义图  $G$  的一个标号  $f$ : 令  $f(b_{1,1})=0$ . 对  $i \in [1, s], t \in [1, m], k \in [1, n]$  分情形证明.

若  $m=3, n=4$ . 当  $s=1$  时, 有

$$\begin{aligned} f(b_{1,2}) &= 8, f(b_{1,3}) = 16; f(c_{1,1}) = 1, \\ f(c_{1,2}) &= 3, f(c_{1,3}) = 5, f(c_{1,4}) = 7; \\ f(b_{1,t}c_{1,k}) &= 2(t-1)n + (2k-1); \\ f(a_1b_{1,1}) &= f(b_{1,3}c_{1,4}) + 2 \end{aligned}$$

即结论成立.

当  $s \geq 2, i$  为奇数, 且  $m, n$  为任意数时, 边标号如下:

$$\begin{aligned} f(b_{i,t}c_{i,k}) &= 2(mn+2)(i-1) + 2n(t-1) + \\ &\quad 2k-1; \\ f(a_ib_{i,1}) &= 2mn+1+2(mn+2)(i-1); \\ f(a_ia_{i+1}) &= 2mn+3+2(mn+2)(i-1) \end{aligned}$$

当  $i$  为偶数时, 边标号如下:

$$\begin{aligned} f(b_{i,t}c_{i,k}) &= 2m+7+2(mn-1)-2(k-1)- \\ &\quad 2(t-1)n+2(mn+2)(i-2); \\ f(a_ib_{i,1}) &= 2mn+5+2(mn+2)(i-2); \\ f(a_ia_{i+1}) &= 2mn+9+2(mn-1)+ \\ &\quad 2(mn+2)(i-2) \end{aligned}$$

顶点标号如下:

$$\begin{aligned} f(a_1) &= f(a_1b_{1,1}) - f(b_{1,1}); \\ f(a_{i+1}) &= f(a_ia_{i+1}) - f(a_i); \\ f(b_{i,1}) &= f(a_ib_{i,1}) - f(a_i); \\ f(c_{i,k}) &= f(b_{i,1}c_{i,k}) - f(b_{i,1}); \\ f(b_{i,t}) &= f(b_{i,t}c_{i,k}) - f(c_{i,k}); \\ f(c_{1,k}) &= f(b_{1,1}c_{1,k}) - f(b_{1,1}); \\ f(b_{1,t}) &= f(b_{1,t}c_{1,k}) - f(c_{1,k}) \end{aligned}$$

根据上述标号可知, 图  $G$  的边  $f(b_{i,t}c_{i,k})$ 、 $f(a_ib_{i,1})$ 、 $f(a_ia_{i+1})$  标号均为奇数.

下证所有边标号在  $[1, 2q-1]^{\circ}$  中. 在上述的公式中可知, 当  $i=1$  时,  $f(b_{1,1}c_{1,1})=1$  是最小的,  $f(b_{1,1}c_{1,2})=3, f(b_{1,1}c_{1,3})=5$ . 类推得  $f(b_{1,1}c_{1,n})=2n-1$ , 则这  $n$  条边的边标号均在  $[1, 2n-1]^{\circ}$  中.

将  $f(b_{1,1}c_{1,1})$  代入上述式中可得  $f(b_{1,2}c_{1,1})=2n+1, f(b_{1,2}c_{1,2})=2n+3, \dots, f(b_{1,2}c_{1,n})=4n-1$ , 则这  $n$  条边的边标号被包含在  $[2n+1, 4n-1]^{\circ}$  里.

由公式知,  $f(b_{1,m}c_{1,1}) = 2n(m-1) + 1$ ,  
 $f(b_{1,m}c_{1,2}) = 2n(m-1) + 3, \dots, f(b_{1,m}c_{1,n}) = 2nm - 1$ , 由  $f(b_{1,m}c_{1,1}), f(b_{1,m}, c_{1,2}), \dots, f(b_{1,m}c_{1,n})$  构成的集合为  $[2n(m-1)+1, 2nm-1]$ .

当  $i=1$  时,  $f(a_1 b_{1,1}) = 2nm + 1$ ,  $f(a_1 a_2) = 2nm + 3$ .

当  $i = 2$  时,  $f(b_{2,m}c_{2,n}) = 2nm + 7$ ,  
 $f(b_{2,m}c_{2,n-1}) = 2nm + 9, \dots, f(b_{2,m}c_{2,1}) = 2n(m+1) + 5$ , 显然  $n$  条边的边标号所在的集合为  $[2nm + 7, 2n(m+1) + 5]$ . 且  $f(a_2b_{2,1}) = 2nm + 5$ .

当  $i=2, t=m-1, k=n$  时,  $f(b_{2,m-1}c_{2,n})=2n(m+1)+7$ ,  $f(b_{2,m-1}c_{2,n-1})=2n(m+1)+9$ , 依此类推, 得出  $f(b_{2,m-1}c_{2,1})=2n(m+2)+5$ , 有

$$\{ f(b_{2,m-1}c_{2,n}), f(b_{2,m-1}c_{2,n-1}), \dots, \\ f(b_{2,m-1}c_{2,1})\} = [2n(m+1)+7, 2n(m+2)+5]^\circ$$

当  $i=2, t=1, k=n$  时,  $f(b_{2,1}c_{2,n})=4mn-2n+7$ ,  $f(b_{2,1}c_{2,n-1})=4mn-2n+9, \dots, f(b_{2,1}c_{2,1})=4mn+5$ , 则这  $n$  条边的边标号包含在  $[4mn-2n+7, 4mn+5]^{\circ}$  中. 且  $f(a_2a_3)=4mn+7$ .

当  $i=3$  时,  $f(b_{3,1}c_{3,1})=4mn+9$ . 依次下去标出整个图. 若  $s$  为奇数, 则最大的边标号为  $f(a,b_{s,1})=2(smn+2s-1)-1$ ; 若  $s$  为偶数, 则最大的边标号为  $f(b_{s,1}c_{s,1})=2(smn+2s-1)-1$ .

由上述标号可得  $f(V(G)) \rightarrow [0, 2q-1]$ ,  
 $f(E(G)) = [1, 2q-1]^o$  (其中  $q = smn + 2s - 1$ , 表示图的总边数),  $f(uv) = f(u) + f(v)$ . 则  $f$  是一个奇边魔幻全标号, 图  $G$  是奇边魔幻图.

一个具有奇边魔幻全标号的组合完全二部图在图 3 中给出.

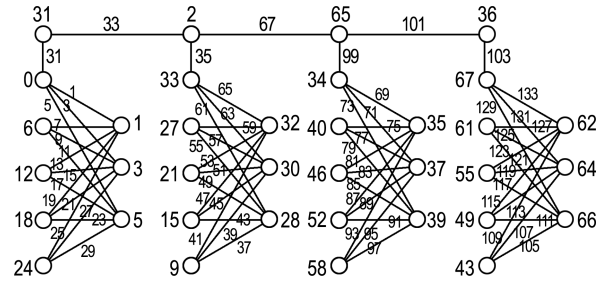


图 3 奇边魔幻全标号图

Fig. 3 An edge-odd-magical total labelling graph

**定理 2** 若图  $G$  是串联完全二部图, 则图  $G$  有优美标号.

**证明** 对于完全二部图  $K_{m,n}$ , 其中  $X$  中有  $m$  个点,  $Y$  中有  $n$  个点, 则完全二部图  $K_{m,n}$  有  $mn$  条

边,有如图 4 所示的优美标号. 设  $f$  为图  $G$  的标号.

**情形 1** 若存在  $s$  个完全二部图, 使每个完全二部图中的  $m$  为定值,  $n$  为变动的, 即  $m_i = m_j$ ,  $n_i \neq n_j$ . 下面把  $s$  个完全二部图连成一个串联完全二部图, 并使得图  $G$  满足优美标号, 注意到图  $G$

有 $(s-1)+m\sum_{i=1}^sn_i$ 条边.令 $f(b_{1,1})=0$ .若 $m=3$ ,  
 $n_1=4,n_2=6$ ,当 $s=2$ 时,有

$$\begin{aligned}
& f(b_{1,2})=1, \quad f(b_{1,3})=2; \quad f(c_{1,1})=31, \\
& f(c_{1,2})=28, \quad f(c_{1,3})=25, \quad f(c_{1,4})=22; \\
& f(b_{2,1})=3, \quad f(b_{2,2})=4, \quad f(b_{2,3})=5; \\
& f(c_{2,1})=21, \quad f(c_{2,2})=18, \quad f(c_{2,3})=15, \\
& f(c_{2,4})=12, \quad f(c_{2,5})=9, \quad f(c_{2,6})=6; \\
& f(b_{2,3}c_{2,6})=1, \quad f(b_{2,2}c_{2,6})=2, \quad f(b_{2,1}c_{2,6})=3; \\
& f(b_{2,3}c_{2,5})=4, \quad f(b_{2,2}c_{2,5})=5, \quad f(b_{2,1}c_{2,5})=6; \\
& f(b_{2,3}c_{2,4})=7, \quad f(b_{2,2}c_{2,4})=8, \quad f(b_{2,1}c_{2,4})=9; \\
& f(b_{2,3}c_{2,3})=10, \quad f(b_{2,2}c_{2,3})=11, \quad f(b_{2,1}c_{2,3})=12; \\
& f(b_{2,3}c_{2,2})=13, \quad f(b_{2,2}c_{2,2})=14, \quad f(b_{2,1}c_{2,2})=15; \\
& f(b_{2,3}c_{2,1})=16, \quad f(b_{2,2}c_{2,1})=17, \quad f(b_{2,1}c_{2,1})=18; \\
& f(b_{2,1}c_{1,4})=19; \quad f(b_{1,3}c_{1,4})=20, \quad f(b_{1,2}c_{1,4})=21, \\
& f(b_{1,1}c_{1,4})=22; \quad f(b_{1,3}c_{1,3})=23, \quad f(b_{1,2}c_{1,3})=24, \\
& f(b_{1,1}c_{1,3})=25; \quad f(b_{1,3}c_{1,2})=26, \quad f(b_{1,2}c_{1,2})=27, \\
& f(b_{1,1}c_{1,2})=28; \quad f(b_{1,3}c_{1,1})=29, \quad f(b_{1,2}c_{1,1})=30, \\
& f(b_{1,1}c_{1,1})=31
\end{aligned}$$

可知它满足优美标号的条件.

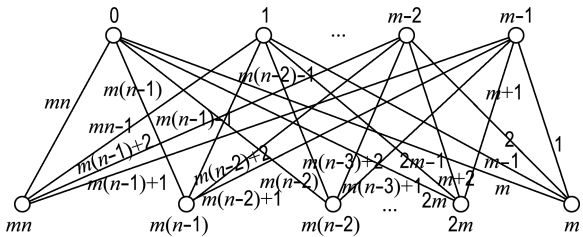


图 4 一个完全二部图

Fig. 4 A complete bipartite graph

推广到一般情况可按以下过程进行顶点标号：  
 $f(b_{1,1})=0$ ;  $f(b_{i,t})=(i-1)m+(t-1)$ ;

$$f(c_{1,1}) = m \sum_{i=1}^s n_i + (s-1);$$

$$f(c_{1,k_1}) = m \sum_{i=1}^s n_i + (s-1) - m(k_1-1),$$

$$f(c_{i,k_i}) = f(c_{i-1,n}) - 1 - (k_i - 1)m$$

可按以下过程进行边标号:  $f(c_{i,k_i} b_{i,t}) =$

$f(c_{i,k_i}) - f(b_{i,t})$ ;  $f(c_{i,n} b_{i+1,1}) = f(c_{i,n}) - f(b_{i+1,1})$ . 其中  $i \in [1, s]$ ,  $t \in [1, m]$ ,  $k_i \in [1, n_i]$ .

可知,  $f(b_{1,1}c_{1,1}), f(b_{1,2}c_{1,1}), f(b_{1,3}c_{1,1}), \dots, f(b_{1,m}c_{1,1})$  分别是  $q, q-1, q-2, \dots, q-m+1$ ;  $f(b_{1,1}c_{1,2}), f(b_{1,2}c_{1,2}), f(b_{1,3}c_{1,2}), \dots, f(b_{1,m}c_{1,2})$  分别等于  $q-m, q-m-1, q-m-2, \dots, q-2m+1$ ; 依次下去,  $f(b_{1,1}c_{1,n_1}), f(b_{1,2}c_{1,n_1}), f(b_{1,3}c_{1,n_1}), \dots, f(b_{1,m}c_{1,n_1})$  的值是  $q-(n_1-1)m, q-(n_1-1)m-1, q-(n_1-1)m-2, \dots, q-n_1m+1; \dots; f(b_{2,1}c_{1,n_1}) = q - n_1m$ ,  $f(b_{2,2}c_{2,1}), f(b_{2,3}c_{2,1}), \dots, f(b_{2,m}c_{2,1})$  为  $q - n_1m - 1, q - n_1m - 2, q - n_1m - 3, \dots, q - (n_1+1)m$ .

边  $b_{2,1}c_{2,2}, b_{2,2}c_{2,2}, b_{2,3}c_{2,2}, \dots, b_{2,m}c_{2,2}$  所对应的标号分别为  $q - (n_1+1)m - 1, q - (n_1+1)m - 2, q - (n_1+1)m - 3, \dots, q - (n_1+2)m$ ; 依次下去,  $f(b_{2,1}c_{2,n_2}), f(b_{2,2}c_{2,n_2}), f(b_{2,3}c_{2,n_2}), \dots, f(b_{2,m}c_{2,n_2})$  分别为  $q - (n_1 + n_2 - 1)m - 1, q - (n_1 + n_2 - 1)m - 2, q - (n_1 + n_2 - 1)m - 3, \dots, q - (n_1 + n_2)m$ ;  $f(b_{2,m}c_{3,1}) = q - (n_1 + n_2)m - 1, \dots, f(b_{s-1,m}c_{s,1}) = n_s m + 1, f(b_{s,1}c_{s,1}), f(b_{s,2}c_{s,1}), f(b_{s,3}c_{s,1}), \dots, f(b_{s,m}c_{s,1})$  与数值  $n_s m, n_s m - 1, n_s m - 2, \dots, (n_s - 1)m + 1$  对应相等;  $f(b_{s,1}c_{s,2}), f(b_{s,2}c_{s,2}), f(b_{s,3}c_{s,2}), \dots, f(b_{s,m}c_{s,2})$  的值是  $(n_s - 1)m, (n_s - 1)m - 1, (n_s - 1)m - 2, \dots, (n_s - 2)m + 1$ ; 依次下去,  $f(b_{s,1}c_{s,n_s}), f(b_{s,2}c_{s,n_s}), f(b_{s,3}c_{s,n_s}), \dots, f(b_{s,m}c_{s,n_s})$  与  $m, m - 1, m - 2, \dots, 1$  对应相等.

**情形 2** 每个完全二部图中的  $m$  为变动的,  $n$  为定值, 即  $m_i \neq m_j, n_i = n_j$ . 把  $s$  个完全二部图连成一个串联完全二部图, 下证图  $G$  满足优美标号, 其中图  $G$  共有  $(s-1) + n \sum_{i=1}^s m_i$  条边. 对  $i \in [1, s], t_i \in [1, m_i], k \in [1, n]$ .

若  $n=3, m_1=4, m_2=6$ . 当  $s=2$  时, 有

$$\begin{aligned} f(b_{1,1}) &= 0, f(b_{1,2}) = 1, f(b_{1,3}) = 2, \\ f(b_{1,4}) &= 3; f(c_{1,1}) = 31, f(c_{1,2}) = 27, \\ f(c_{1,3}) &= 23; f(b_{2,1}) = 4, f(b_{2,2}) = 5, \\ f(b_{2,3}) &= 6, f(b_{2,4}) = 7, f(b_{2,5}) = 8, \\ f(b_{2,6}) &= 9; f(c_{2,1}) = 22, f(c_{2,2}) = 16, \\ f(c_{2,3}) &= 10; f(b_{2,6}c_{2,3}) = 1, f(b_{2,5}c_{2,3}) = 2, \\ f(b_{2,4}c_{2,3}) &= 3, f(b_{2,3}c_{2,3}) = 4, f(b_{2,2}c_{2,3}) = 5, \\ f(b_{2,1}c_{2,3}) &= 6; f(b_{2,6}c_{2,2}) = 7, f(b_{2,5}c_{2,2}) = 8, \\ f(b_{2,4}c_{2,2}) &= 9, f(b_{2,3}c_{2,2}) = 10, f(b_{2,2}c_{2,2}) = 11, \end{aligned}$$

$$\begin{aligned} f(b_{2,1}c_{2,2}) &= 12; f(b_{2,6}c_{2,1}) = 13, f(b_{2,5}c_{2,1}) = 14, \\ f(b_{2,4}c_{2,1}) &= 15, f(b_{2,3}c_{2,1}) = 16, f(b_{2,2}c_{2,1}) = 17, \\ f(b_{2,1}c_{2,1}) &= 18; f(b_{2,1}c_{1,3}) = 19; f(b_{1,4}c_{1,3}) = 20, \\ f(b_{1,3}c_{1,3}) &= 21, f(b_{1,2}c_{1,3}) = 22, f(b_{1,1}c_{1,3}) = 23; \\ f(b_{1,4}c_{1,2}) &= 24, f(b_{1,3}c_{1,2}) = 25, f(b_{1,2}c_{1,2}) = 26, \\ f(b_{1,1}c_{1,2}) &= 27; f(b_{1,4}c_{1,1}) = 28, f(b_{1,3}c_{1,1}) = 29, \\ f(b_{1,2}c_{1,1}) &= 30, f(b_{1,1}c_{1,1}) = 31 \end{aligned}$$

可知它满足优美标号的条件.

当  $s > 2$  时, 有以下标号过程:

$$f(b_{1,1}) = 0, f(b_{1,t_1}) = t_1 - 1,$$

$$f(b_{2,t_2}) = n_1 + (t_2 - 1),$$

$$f(b_{3,t_3}) = (n_1 + n_2) + (t_3 - 1),$$

$$f(b_{i,t_i}) = (\sum_{k=1}^{i-1} n_k) + (t_i - 1);$$

$$f(c_{1,1}) = n \sum_{i=1}^s m_i + (s-1),$$

$$f(c_{1,k}) = n \sum_{i=1}^s m_i + (s-1) - m_1(k-1),$$

$$f(c_{2,1}) = f(c_{1,n}) - 1,$$

$$f(c_{2,k}) = f(c_{2,1}) - m_2(k-1),$$

$$f(c_{i,1}) = f(c_{i-1,n}) - 1,$$

$$f(c_{i,k}) = f(c_{i,1}) - m_i(k-1)$$

图  $G$  的边标号按以下方程进行:

$$f(c_{i,k}b_{i,t}) = f(c_{i,k}) - f(b_{i,t});$$

$$f(c_{i,n}b_{i+1,1}) = f(c_{i,n}) - f(b_{i+1,1})$$

有  $f(b_{1,1}c_{1,1}), f(b_{1,2}c_{1,1}), f(b_{1,3}c_{1,1}), \dots, f(b_{1,m_1}c_{1,1})$  分别等于  $q, q-1, q-2, \dots, q-m_1+1$ ; 边  $b_{1,1}c_{1,2}, b_{1,2}c_{1,2}, b_{1,3}c_{1,2}, \dots, b_{1,m_1}c_{1,2}$  的标号分别为  $q-m_1, q-m_1-1, q-m_1-2, \dots, q-2m_1+1; \dots; f(b_{1,1}c_{1,n_1}), f(b_{1,2}c_{1,n_1}), f(b_{1,3}c_{1,n_1}), \dots, f(b_{1,m_1}c_{1,n_1})$  分别为  $q-(n-1)m_1, q-(n-1)m_1-1, q-(n-1)m_1-2, \dots, q-nm_1+1$ ; 依次下去,  $f(b_{2,1}c_{1,n}) = q - nm_1, f(b_{2,1}c_{2,1}), f(b_{2,2}c_{2,1}), f(b_{2,3}c_{2,1}), \dots, f(b_{2,m_2}c_{2,1})$  的值为  $q - nm_1 - 1, q - nm_1 - 2, q - nm_1 - 3, \dots, q - nm_1 - m_2$ ;  $f(b_{2,1}c_{2,2}), f(b_{2,2}c_{2,2}), f(b_{2,3}c_{2,2}), \dots, f(b_{2,m_2}c_{2,2})$  分别为  $q - nm_1 - m_2 - 1, q - nm_1 - m_2 - 2, q - nm_1 - m_2 - 3, \dots, q - n(m_1 + m_2)$ ;  $\dots; f(b_{s,1}c_{s-1,n}) = nm_s + 1, f(b_{s,1}c_{s,1}), f(b_{s,2}c_{s,1}), f(b_{s,3}c_{s,1}), \dots, f(b_{s,m_s}c_{s,1})$  与  $nm_s, nm_s - 1, nm_s - 2, \dots, (n-1)m_s + 1$  对应相等;  $f(b_{s,1}c_{s,2}), f(b_{s,2}c_{s,2}), f(b_{s,3}c_{s,2}), \dots, f(b_{s,m_s}c_{s,2})$  分别等于  $(n-1)m_s, (n-1)m_s - 1, (n-1)m_s - 2, \dots, (n-$

2)  $m_s + 1$ ; 依次下去,  $f(b_{s,1}c_{s,n})$ ,  $f(b_{s,2}c_{s,n})$ ,  $f(b_{s,3}c_{s,n})$ , ...,  $f(b_{s,m}c_{s,n})$  的值是  $m_s, m_s - 1, m_s - 2, \dots, 1$ .

**情形3** 使完全二部图中的  $m, n$  均为变动的, 即  $m_i \neq m_j, n_i \neq n_j$ . 下面考察图  $G$  是否满足优美标号, 图  $G$  有  $\sum_{i=1}^s (m_i n_i) + (s-1)$  条边. 对  $i \in [1, s], t_i \in [1, m_i], k_i \in [1, n_i]$ , 则有

若  $m_1 = 4, m_2 = 6, n_1 = 3, n_2 = 2$ . 当  $s=2$  时, 得  $f(b_{1,1}) = 0, f(b_{1,2}) = 1, f(b_{1,3}) = 2, f(b_{1,4}) = 3; f(c_{1,1}) = 25, f(c_{1,2}) = 21, f(c_{1,3}) = 17; f(b_{2,1}) = 4, f(b_{2,2}) = 5, f(b_{2,3}) = 6, f(b_{2,4}) = 7, f(b_{2,5}) = 8, f(b_{2,6}) = 9; f(c_{2,1}) = 16, f(c_{2,2}) = 10, f(b_{2,6}c_{2,2}) = 1, f(b_{2,5}c_{2,2}) = 2, f(b_{2,4}c_{2,2}) = 3, f(b_{2,3}c_{2,2}) = 4, f(b_{2,2}c_{2,2}) = 5, f(b_{2,1}c_{2,2}) = 6; f(b_{2,6}c_{2,1}) = 7, f(b_{2,5}c_{2,1}) = 8, f(b_{2,4}c_{2,1}) = 9, f(b_{2,3}c_{2,1}) = 10, f(b_{2,2}c_{2,1}) = 11, f(b_{2,1}c_{2,1}) = 12; f(b_{2,1}c_{1,3}) = 13; f(b_{1,4}c_{1,3}) = 14, f(b_{1,3}c_{1,3}) = 15, f(b_{1,2}c_{1,3}) = 16, f(b_{1,1}c_{1,3}) = 17; f(b_{1,4}c_{1,2}) = 18, f(b_{1,3}c_{1,2}) = 19, f(b_{1,2}c_{1,2}) = 20, f(b_{1,1}c_{1,2}) = 21; f(b_{1,4}c_{1,1}) = 22, f(b_{1,3}c_{1,1}) = 23, f(b_{1,2}c_{1,1}) = 24, f(b_{1,1}c_{1,1}) = 25$

可知它满足优美标号的条件. 推广到一般情况, 可按以下过程进行顶点标号:

$$\begin{aligned} f(b_{1,1}) &= 0, f(b_{1,t_1}) = t_1 - 1, \\ f(b_{2,t_2}) &= n_1 + (t_2 - 1), \\ f(b_{3,t_3}) &= n_1 + n_2 + (t_3 - 1), \\ f(b_{i,t_i}) &= \sum_{k=1}^{i-1} n_k + (t_i - 1); \\ f(c_{1,1}) &= \sum_{i=1}^s (m_i n_i) + (s-1), \\ f(c_{1,k_1}) &= \sum_{i=1}^s (m_i n_i) + (s-1) - m_1(k_1 - 1); \\ f(c_{2,1}) &= f(c_{1,n_1}) - 1, \\ f(c_{2,k_2}) &= f(c_{2,1}) - m_2(k_2 - 1), \\ f(c_{i,1}) &= f(c_{i-1,n_{i-1}}) - 1, \\ f(c_{i,k_i}) &= f(c_{i,1}) - m_i(k_i - 1) \end{aligned}$$

由上述顶点标号可推导出图  $G$  的边标号:

$$\begin{aligned} f(c_{i,k_i}b_{i,t_i}) &= f(c_{i,k_i}) - f(b_{i,t_i}); \\ f(c_{i,n_i}b_{i+1,1}) &= f(c_{i,n_i}) - f(b_{i+1,1}) \end{aligned}$$

按上述公式标号可知, 第一个完全图的边标号:  $f(b_{1,1}c_{1,1}), f(b_{1,2}c_{1,1}), \dots, f(b_{1,m_1}c_{1,1}), \dots, f(b_{1,m_1}c_{1,2}), \dots, f(b_{1,m_1}c_{1,n_1})$  分别为  $q, q-1, \dots,$

$q-m_1+1, \dots, q-2m_1+1, \dots, q-n_1m_1$ ,  $f(b_{2,1}c_{1,n_1}) = q-n_1m_1-1$ , 按上面的顺序, 串联完全二部图的第二个完全二部图的边标号在  $[q-(n_1m_1+n_2m_2-2, q-n_1m_1-2)]$  内,  $f(b_{3,1}c_{2,n_2}) = q-(n_1m_1+n_2m_2-3), \dots, f(b_{s,1}c_{s-1,n}) = nm_s+1, f(b_{s,1}c_{s,1}), f(b_{s,2}c_{s,1}), f(b_{s,3}c_{s,1}), \dots, f(b_{s,m_s}c_{s,1})$  分别为  $nm_s, nm_s-1, nm_s-2, \dots, (n-1)m_s+1; f(b_{s,1}c_{s,2}), f(b_{s,2}c_{s,2}), f(b_{s,3}c_{s,2}), \dots, f(b_{s,m_s}c_{s,2})$  为  $(n-1)m_s, (n-1)m_s-1, (n-1)m_s-2, \dots, (n-2)m_s+1$ ; 依次下去,  $f(b_{s,1}c_{s-1,n_{s-1}}) = n_s m_s+1$ , 第  $s$  个完全二部图的边标号在  $[1, n_s m_s]$  中.

综上, 可得标号  $f$  满足  $f: V(G) \rightarrow [0, q]$ ,  $f(E(G)) = [1, q]$ , 则串联完全二部图  $G$  为优美图,  $f$  为图  $G$  的一个优美标号.  $\square$

**推论1** 每个串联完全二部图  $G$  都有  $(k, d)$ -优美标号.

**证明** 类似定理1的分类, 进行讨论.

**情形1** 完全二部图中的  $m$  为定值,  $n$  为变动的, 即  $m_i = m_j, n_i \neq n_j$ . 图  $G$  有  $m \left( \sum_{i=1}^s n_i \right) + (s-1)$  条边, 利用定理1的标号  $f$  作图  $G$  的一个新标号  $g$ , 按以下过程进行顶点标号:

$$\begin{aligned} g(b_{1,1}) &= f(b_{1,1})d, g(b_{i,t_i}) = f(b_{i,t_i})d; \\ g(c_{1,1}) &= k + (f(c_{1,1}) - 1)d, \\ g(c_{1,k_1}) &= k + (f(c_{1,k_1}) - 1)d, \\ g(c_{i,k_i}) &= (f(c_{i,k_i}) - 1) + k; \\ g(c_{i,k_i}b_{i,t_i}) &= g(c_{i,k_i}) - g(b_{i,t_i}), \\ g(c_{i,n_i}b_{i+1,1}) &= g(c_{i,n_i}) - g(b_{i+1,1}) \end{aligned}$$

其中  $i \in [1, s], t_i \in [1, m_i], k_i \in [1, n_i]$ .

**情形2**  $m_i \neq m_j, n_i = n_j$ . 把  $s$  个完全二部图连成一个串联完全二部图, 可计算出图  $G$  有

$$n \left( \sum_{i=1}^s m_i \right) + (s-1) \text{ 条边.}$$

$$\begin{aligned} g(b_{1,1}) &= f(b_{1,1})d, g(b_{i,t_i}) = f(b_{i,t_i})d; \\ g(c_{1,1}) &= k + (f(c_{1,1}) - 1)d, \\ g(c_{1,k}) &= k + (f(c_{1,k}) - 1)d, \\ g(c_{i,k}) &= (f(c_{i,k}) - 1)d + k; \\ g(c_{i,k}b_{i,t_i}) &= g(c_{i,k}) - g(b_{i,t_i}), \\ g(c_{i,n_i}b_{i+1,1}) &= g(c_{i,n_i}) - g(b_{i+1,1}) \end{aligned}$$

其中  $i \in [1, s], t_i \in [1, m_i], k \in [1, n]$ .

**情形3**  $m_i \neq m_j, n_i \neq n_j$ . 观察图  $G$  是否满足  $(k, d)$ -优美标号, 图  $G$  有  $(s-1) + \sum_{i=1}^s m_i n_i$  条边.

$$\begin{aligned}
 g(b_{1,1}) &= f(b_{1,1})d, \quad g(b_{1,t_1}) = f(b_{1,t_1})d, \\
 g(b_{i,t_i}) &= f(b_{i,t_i})d; \\
 g(c_{1,1}) &= (f(c_{1,1}) - 1)d + k, \\
 g(c_{1,k_1}) &= (f(c_{1,k_1}) - 1)d + k; \\
 g(c_{2,1}) &= (f(c_{2,1}) - 1)d + k, \\
 g(c_{2,k_2}) &= (f(c_{2,k_2}) - 1)d + k, \\
 g(c_{i,1}) &= (f(c_{i,1}) - 1)d + k, \\
 g(c_{i,k_i}) &= (f(c_{i,k_i}) - 1)d + k; \\
 g(c_{i,k_i}b_{i,t_i}) &= g(c_{i,k_i}) - g(b_{i,t_i}), \\
 g(c_{i,n_i}b_{i+1,1}) &= g(c_{i,n_i}) - g(b_{i+1,1})
 \end{aligned}$$

其中  $i \in [1, s]$ ,  $t_i \in [1, m_i]$ ,  $k_i \in [1, n_i]$ .

综上, 标号  $g$  满足  $g: V(G) \rightarrow [0, k + (q - 1)d]$  和  $f(E(G)) = \{k, k+d, k+2d, \dots, k+(q-1)d\}$ , 则串联完全二部图为  $(k, d)$ -优美图, 标号  $g$  为的它一个  $(k, d)$ -优美标号.

□

### 3 结语

本文对完全二部图的一些性质做了简要总结, 并且在其他标号的基础上研究出一类新的标号: 奇边魔幻标号. 先对奇边魔幻标号、组合完全二部图、串联完全二部图进行定义, 对组合完全二部图、串联完全二部图的性质进行了简单分析, 并且证明了组合完全二部图是奇边魔幻图, 串联完全二部图是优美图. 当然, 本文是从最基本的方法出发, 显然不够深刻, 还需要大量的后续工作来进一步探寻奇边优美标号的性质, 以及该标号和这类完全二部图在日常生活中的应用等, 从而进一步完善部分完全图的各类标号.

### 参考文献:

- [1] RINGEL G. Problem 25 in theory of graphs and its application [C] // FLEDLER M, ed. **Proceeding of the 4th International Symposium Smolenice**. Prague: Czech Academy of Science, 1963: 162-167.
- [2] ROSA A. **On Certain Valuation of Vertices of Graph** [M]. New York: Gordon and Breach, 1966: 349-355.
- [3] 李振汉, 唐余亮, 雷鹰. 基于 ZigBee 的无线传感器网络的自愈功能 [J]. 厦门大学学报(自然科学版), 2012, 51(5): 834-838.  
LI Zhenhan, TANG Yuliang, LEI Ying. Self-healing function based on wireless sensor networks of ZigBee [J]. **Journal of Xiamen University (Natural Science)**, 2012, 51(5): 834-838. (in Chinese)
- [4] BONDY J A, MURTY U S R. **Graph Theory with Applications** [M]. New York: The Macmillan Press, 1976.
- [5] YAO Bing, YAO Ming, CHEN Xiang'en, et al. Research on edge-growing models related with scale-free small-world networks [J]. **Applied Mechanics and Materials**, 2013, 513-517: 2444-2448.
- [6] GALLIAN J A. A dynamic survey of graph labelling [J]. **The Electronic Journal of Combinatorics**, 2000, 6: 10-18.
- [7] LI Lun, ALDERSON D, DOYLE J C, et al. Towards a theory of scale-free graphs: definition, properties, and implications [J]. **Internet Mathematics**, 2005, 2(4): 431-523.
- [8] ACHARYA B D, HEDGE S M J. Graph theory [J]. **Arithmetic Graphs**, 1990, 2: 275-299.

## Exploration of gracefulness of some complete bipartite graphs

BA Lina, LIU Qian, LIU Xinsheng, YAO Bing\*

(College of Mathematics and Statistics, Northwest Normal University, Lanzhou 730070, China)

**Abstract:** The bipartite graphs of graph theory and graph labellings are widely used in practical applications, especially recently the graph labelling has been applied to design a new type of graphical password. Firstly, some complete bipartite graphs are constructed by combinatoric and series methods. A new labelling, called edge-odd-magical total labelling, is found and it is proved that the combinatoric complete bipartite graphs admit the edge-odd-magical total labelling. Moreover, series complete bipartite graphs are graceful, or  $(k, d)$ -graceful.

**Key words:** trees; complete bipartite graph; graceful labelling;  $(k, d)$ -graceful labelling